

سنتز نانوکریستال‌های بسیار خالص تیتانات باریم با استفاده از روشی اصلاح شده

روح الله عشیری^۱، علی نعمتی^۲

۱- مریبی، گروه مهندسی و علم مواد، دانشگاه آزاد اسلامی، واحد دزفول، ایران

۲- دانشیار، دانشکده مهندسی و علم مواد دانشگاه صنعتی شریف، تهران، ایران

*ro_ashiri@yahoo.com

(تاریخ دریافت: ۱۳۸۹/۱۲/۰۴، تاریخ پذیرش: ۱۳۹۰/۰۳/۲۱)

چکیده

در این تحقیق از یک روش سل-ژل اصلاح شده برای تهیه نانوذرات تیتانات باریم استفاده شد. در این مسیر، یک روشی مقرون به صرفه و سریع نسبت به روش‌های مشابه به کار گرفته و با استفاده از آن نانوذارت بسیار خالص فرآورده گردید. عواملی چون انتخاب دقیق و اصلاح شده مواد آغازگر، استفاده از نسبت‌های بهینه انتخاب شده‌ی مواد آغازگر و همچنین کنترل شرایط هیدرولیز منجر به فرآوری نانوذرات ریزتر تیتانات باریم در زمان کمتر و دمای پایین‌تر در مقایسه با تحقیقات قبلی شد. در مقایسه با تحقیقات مشابه، سل مناسب ظرف ۹۰ دقیقه تهیه شد ولی محققین دیگر آن را در بیشتر از ۸ ساعت تهیه کردند. همچنین نانوذرات تیتانات باریم با کلسیناسیون ژل خشک به مدت یک ساعت در دمای ۸۰۰ درجه‌ی سانتی‌گراد فرآوری شدند که نمونه‌های مشابه در این دما حاوی فازهای کربناتی بودند. به نظر می‌رسد روش پیشنهاد شده در این تحقیق در مقایسه با روش‌های مشابه برای تولید در مقیاس صنعتی برتری محسوس داشته باشد.

واژه‌های کلیدی:

روش سل-ژل اصلاح شده، نانوذرات، تیتانات باریم.

دستگاه‌های الکتروپتیک^۱، حافظه‌های فروالکتریک^۲،
حسگرهای دمایی، رطوبت، گاز و... [۷-۶] می‌باشد.
پیشرفت‌های اخیر در دستگاه‌های الکترونیکی ساخته شده از تیتانات باریم نشان از یک روند پیوسته از کوچک شدن و مینیاتوره شدن^۳ آنها داشته که به طور همزمان همراه با بهبود کارآبی آنها می‌باشد [۷]. برای مینیاتوره کردن نیاز به کوچک سازی ابعاد^۴ مواد اولیه یا رسیدن به مواد با ساختار ریز

۱- مقدمه

ضریب دی الکتریک بالا و همچنین تلفات الکتریکی کم تیتانات باریم سبب شده تا این ماده مهمترین ماده جهت ساخت خازن‌های سرامیکی خصوصاً برای ساخت خازن‌های چندلایه سرامیکی (MLCC)^۵ باشد [۱-۵]. علاوه بر آن تیتانات باریم یکی از مهم‌ترین مدارهای مجتمع^۶ برای کاربردهای متنوع نظیر ردیاب‌های مادون قرمز^۷، مبدل‌های پیزوالکتریک^۸

روش سعی و خطأ و دیگری طراحی پروسه فرآوری بر اساس مبانی علمی فرآیند انتخابی بوده به نحوی که با این طراحی‌ها هزینه‌های تولید کاهش یابد. در تحقیقات اخیر روش‌های سل-ژل مختلفی برای سنتز تیتانات باریم بکار گرفته شده است [۴-۱]. اما در تحقیق حاضر با استفاده از روشی اصلاح شده و جدید با دستکاری پروسه فرآوری بر اساس مبانی علمی فرآیند سل-ژل، نانوکریستال‌های ریزتر، در دما و زمان کمتر کلسیناسیون نسبت به تحقیقات مشابه فرآوری شده‌اند. از مهم‌ترین عوامل موثر در این روش اصلاح شده انتخاب بهینه مواد آغازگر^{۱۰} و نسبت‌های مولی آنها و استفاده از یک فرآیند هیدرولیز کنترل شده دو مرحله‌ای بوده که منجر به بهبود شرایط ستر و کاهش قابل ملاحظه هزینه‌های فرآوری شده است.

۲- مواد و روش تحقیق

در این تحقیق از یک روش سل-ژل استاتی اصلاح شده^{۱۱} برای فرآوری تیتانات باریم استفاده شد. نگارندگان در تحقیق قبلی خود از روشی مشابه برای تهیه پوشش‌های نانومتری اپتیکی استفاده نمودند [۱۲] که آن روش با اعمال اصلاحاتی برای فرآوری نانوذرات در تحقیق حاضر بکار گرفته شده است. در ابتدا سل با استفاده از مواد آغازگری نظری اسید استیک گلاسیال^{۱۲} (مرک با خلوص ۱۰۰ درصد)، استات باریم (مرک با خلوص بالاتر از ۹۹ درصد)، ترا ایزوپروپیل آلكوکسید (TTIP) مرک با خلوص بیشتر از ۹۸ درصد)، ۲-پروپانول (مرک با خلوص بیشتر از ۹۹ درصد) و آب بدون یون^{۱۳} تهیه شد. نسبت مولی مواد آغازگر سل که شامل اسید استیک، استات باریم، TTIP، ۲-پروپانول و آب بدون یون بود، به ترتیب برابر ۶، ۱، ۱، ۱ و ۱۵۰ می‌باشد.

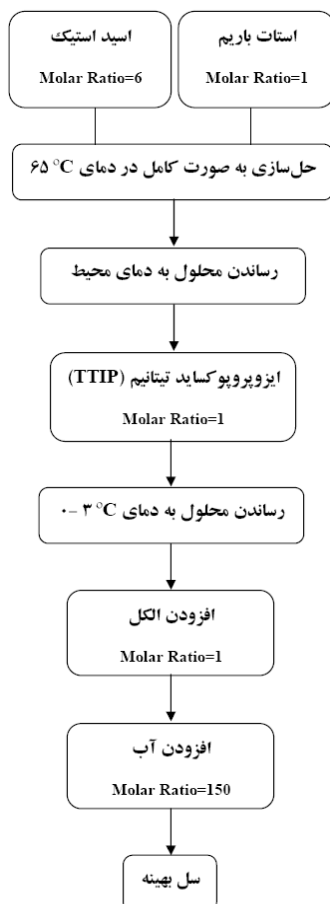
در این تحقیق از اسید استیک برای حل کردن استات باریم استفاده شد تا در اثر این انحلال یون‌های Ba²⁺ در محلول ایجاد شوند، TTIP هم حامل یون‌های Ti⁴⁺ می‌باشد. در این روش فرآوری از یک فرآیند جدید هیدرولیز (هیدرولیز دو مرحله‌ای^{۱۴}) استفاده گردید که در مورد چرایی آن در ادامه بحث

می‌باشد [۸]. برای رسیدن به نیازهای بازار در خصوص مینیاتوره کردن خازن‌های چندلایه و نیز ساخت دستگاه‌های الکترونیکی میکرونی و نانویی قابل اطمینان، نانوذرات بسیار همگن تیتانات باریم نیاز است زیرا در این شرایط قابلیت سیتریزی در مناسب بوده و می‌توان به ریز ساختار که متشکل از دانه‌هایی با ابعاد نانو باشند رسید.

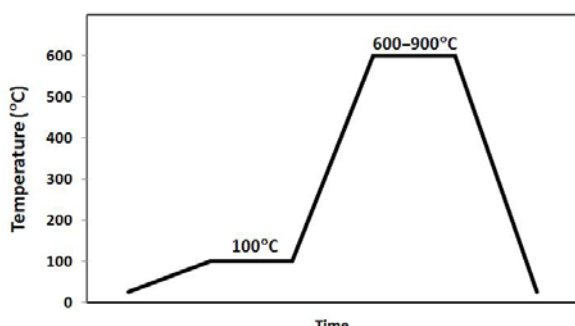
به طور کلی دو روش عمده فرآوری شامل روش‌های سنتی و پیشرفته^۹ برای فرآوری نانوذرات تیتانات باریم وجود دارد. در روش سنتی تیتانات باریم از مخلوط کردن حالت جامد کربنات باریم و اکسید تیتانیم در دماهای بالا حدود ۱۲۰۰°C فرآوری می‌شود [۹]. تیتانات باریمی که از این طریق سنتز می‌شود، شامل غیریکنواختی‌هایی در اندازه ذرات بوده و شامل ذرات با ابعاد زیرمیکرون^{۱۰} نیز می‌باشد. گستره وسیع توزیع اندازه ذرات، فازهای چندگانه^{۱۱} و وجود غیر قابل اجتناب غیر همگنی، وجود تخلخل و ناخالصی‌ها، تنها برخی از معایب روش‌های سنتی فرآوری تیتانات باریم می‌باشد. یکی از مهمترین عوامل تاثیر گذار در سنتز نانوذرات تیتانات باریم با خاصیت دی الکتریک منحصر به فرد، خلوص بسیار بالا می‌باشد. به همین دلیل است که روش‌های سنتی تا به حال برای فرآوری تیتانات باریم برای کاربردهای پیشرفته به تیتانات باریم سبب شده که روش دستگاه‌های نانوالکتریکی به تیتانات باریم پیشنهاد شوند. نیاز مبرم های پیشرفته و نو نظری روش‌های شیمیایی [۱۰] برای تولید پودرهای نانومتری بسیار خالص به کار گرفته شوند. این التزامات و همچنین مزایایی نظری دمای پایین پروسه سنتز، همگن بودن در مقیاس اتمی، کنترل ساده استکیومتری محصولات [۱۱] و عدم وجود آلودگی‌ها و ناخالصی‌ها در مواد سنتز شده [۴] منجر به استفاده از روش سل-ژل برای تولید نانوذرات شده است.

یکی از مهم‌ترین چالش‌هایی که در حال حاضر محققین در حوزه نانو با آن رویرو هستند تولید اقتصادی این محصولات است تحقیقات باید به سمتی جهت داده شوند که این محصولات با هزینه بسیار پایین‌تر فرآوری و تهیه شود. در راستای نیل به این هدف مهم دو رویکرد کلی وجود دارد یکی

استفاده از میکروسکوپ الکترونی روبشی ساخت شرکت فیلیپس مدل Vega XL31 و میکروسکوپ الکترونی عبوری ساخت شرکت فیلیپس مدل CM200 انجام شد.



شکل (۱): روش تهیه سل بهینه و نسبت‌های مربوطه.



شکل (۲): روند خشک کردن و کلسیناسیون ژلهای.

می‌شود. روش تهیه سل که خود حاصل آزمایشات متعددی بود به این صورت است که ابتدا استات باریم در اسید استیک حل می‌شد که برای این انحلال، دمایی در حدود ۶۵°C نیاز است. پس از آنکه این انحلال به صورت کامل صورت گرفت محلول به دمای محیط آورده می‌شد. در ادامه TTIP به محلول اضافه می‌شد و مخلوط برای همگن شدن چند دقیقه‌ای هم زده می‌شد. پس از این مرحله دمای مخلوط به یک محدوده‌ی بحرانی در حدود ۲-۳°C آورده می‌شد و پس از آن ۲-پروپانول به مخلوط اضافه می‌شد تا فرآیند هیدرولیز جزئی شروع شود و نیز مانع از واکنش شدید TTIP و آب شود که در مرحله بعدی به مخلوط اضافه می‌شود. با افزودن آب بدون یون به مخلوط هیدرولیز در سر تا سر مخلوط صورت می‌پذیرد که این واکنش، شروع واکنش‌های سل-ژل است. در فلوچارت شکل (۱)، روند تهیه سل که در بالا تشریح گردید، آورده شده است. در حین کلیه مراحل تهیه سل، مخلوط توسط همزن مغناطیسی^{۱۸} به شدت همراه می‌شود. حاصل این مراحل یک سل شفاف و بدون رنگ بود. پس از ژل شدن سل، ژل حاصله در دمای ۱۰۰°C خشک و سپس ژل خشک^{۱۹} حاصله در دمای مختلف طبق شکل (۲) تحت عملیات کلسیناسیون قرار می‌گرفت تا ژل خشک تبدیل به پودر نانومتری تیتانات باریم شود.

از مهم‌ترین روش‌های مشخصه‌یابی که در این تحقیق مورد استفاده قرار گرفت می‌توان به روش‌های SEM، XRD، FT-IR، TEM اشاره کرد. برای اطلاع از وجود و نوع گروه‌های عاملی^{۲۰} در ژل خشک از طیف‌سنجی IR استفاده شد که در این تحقیق، این ارزیابی توسط دستگاه طیف‌سنج هینتاچی^{۲۱} مدل 3140 انجام شد. بررسی ساختار کریستالی، فازها و اندازه کریستالیت‌های موجود در پودر کلسینه شده از طریق آنالیز XRD با استفاده از دستگاه فیلیپس^{۲۲} مدل PW3710 که با ولتاژ 40 kV و آمپری 30 mA کار می‌کرد، انجام شد. همچنین در این آنالیز از تابش با طول موجی معادل Cu K α ، سرعت اسکن برابر ۱۰ درجه بر دقیقه در محدوده ۵-۷۵ درجه در دمای اتاق استفاده شد. بررسی مورفولوژی و اندازه ذرات تهیه شده با

عملیات هیدرولیز در این جا در یک شرایط بحرانی صورت می‌پذیرد که این شرایط بحرانی شرایط نزدیک به دمای انجماد آب است. از آنجایی که یکی از کلیدی‌ترین عوامل در تسریع واکنش‌های سل-ژل افزایش دما است، پس هرچه دما در حین انجام واکنش‌های سل-ژل پایین‌تر باشد، زنجیره‌های پلیمری-فلزی^{۱۰} کوچکتری در مخلوط ایجاد می‌شوند. این زنجیره‌ها پس از خشک کردن و کلسیناسیون تبدیل به پودرهای نهایی می‌شوند. پس می‌توان ادعا کرد زنجیره‌های کوچکتر منجر به ریزتر شدن پودرهای حاصله می‌شود. پس می‌توان انتظار داشت که از یک چنین روشی پودرهای نانوساختار ریزتری نسبت به تحقیقات مشابه فرآوری شود. نتایج حاصله نیز مؤید این تحلیل می‌باشد.

انتخاب بهینه مواد آغازگر و استفاده از نسبت‌های مولی بهینه، اصلاح دیگری است که بر روش فرآوری محققین قبلی اعمال شد. از آنجایی که مقدار ۲ پروپانول و اسید استیک استفاده شده در این تحقیق بسیار کمتر از تحقیق‌های قبلی است [۲ و ۶] و از اصلاح کننده‌ای نظری استیل استون نیز استفاده نشده، هزینه از فرآوری به شدت کاهش می‌یابد. فرآوری سریع، یکی دیگر از مزایای این روش اصلاح شده می‌باشد چرا که برخلاف روش‌های سایر محققین، سل تنها در ظرف ۹۰ دقیقه تهیه می‌شد ولی محققین قبلی بیشتر از ۸ ساعت صرف تهیه سل‌های مشابه نموده‌اند [۲ و ۱۴]. تمامی این شرایط منجر به کارگیری روشی شد که قابلیت‌های مطلوبی برای تولید صنعتی دارد.

در این تحقیق برای بررسی گروه‌های عاملی موجود در ترکیب ژل خشک، از آنالیز FT-IR استفاده شد. به بیان بسیار ساده، روش مشخصه‌یابی FT-IR بیشتر برای شناسایی اجزاء (گروه‌های عاملی) یک ماده که ساختار کریستالی ندارد و از زنجیره‌های پلیمری تشکیل شده، بکار می‌رود. هر ترکیب یا پیوند، در یک عدد موج مشخصه^{۱۱} (منحصر به فرد) پیوندش در اثر نیروی تابش داده شده، به ارتعاش درمی‌آید که به واسطه این ارتعاش مقداری از نیروی تابش را جذب می‌کند و این پدیده در طیف به صورت جذب (کاهش میزان عبوردهی) نمایان می‌شود. هرچه تعداد جذب‌ها بیشتر باشد، شدت پیک حاصله بیشتر و پیک

۳- نتایج و بحث

در این تحقیق با استفاده از یک روش سل-ژل اصلاح شده، نانوذرات تیتانات باریم در دمای پایین‌تر و زمان کمتر نسبت به تحقیقات قبلی فرآوری شدند. یکی از مهمترین دلایل رسیدن به این مهم به کارگیری روش نو برای فرآوری بود که در ادامه در خصوص چگونگی اصلاح و بهینه‌سازی‌ها و همچنین چرایی آنها بحث می‌شود. در مقایسه با بسیاری از تحقیقات قبلی [۱۰ و ۱-۴] در این تحقیق از یک روش هیدرولیز دو مرحله‌ای در دمای پایین استفاده شد. همچنین از نسبت‌های مولی کم اسیداستیک و الکل (پروپانول) و نسبت‌های مولی بالای آب بدون یون استفاده گردید و بر خلاف تحقیقات قبلی هیچگونه ماده اصلاح کننده‌ای^{۱۲} نظری استیل استون استفاده نشد [۱۳ و ۱۰]. این شرایط تاثیر مهم و قابل توجهی در کاهش دما و زمان فرآوری محصول نهایی دارند.

در خصوص چرایی استفاده هیدرولیز دو مرحله‌ای باید گفت TTIP به شدت به آب حساس بوده و در معرض آب با سرعت زیاد هیدرولیز می‌شود و تشکیل رسوبات سفید رنگی می‌دهد که دارای ترکیب شیمیایی $Ti(OH)_4$ می‌باشد. اگر چنین اتفاقی در حین فرآوری رخ دهد به دلیل خروج یون Ti^{4+} از محلول، دیگر $BaTiO_3$ قابلیت تشکیل نخواهد داشت لذا باید از تماس مستقیم TTIP با آب جلوگیری کرد. بر این اساس، افزودن آب باید در آخرین مرحله تهیه سل انجام شود و این زمانی است که دیگر یونهای Ti^{4+} وارد محلول شده‌اند. به این دلیل در این روش تهیه سل، از یک فرآیند هیدرولیز دو مرحله‌ای استفاده شد به این ترتیب که پس از معرفی ۲ پروپانول به محلول اسیداستیک و استات باریم و TTIP، هیدرولیز جزیی رخ می‌دهد و پس از همگن شدن کل مخلوط، آب به محلول افزوده می‌شود تا فرآیند هیدرولیز کامل گردد و واکنش‌های سل-ژل شروع شوند. در این مرحله دیگر رسوبی مشاهده نمی‌شود و می‌توان نتیجه گرفت که این روش با توجه به عدم خروج یون‌های Ti^{4+} قابلیت کاربری برای تهیه و فرآوری تیتانات باریم را دارد. تفاوت دیگر این روش با روش‌های محققین دیگر این است که

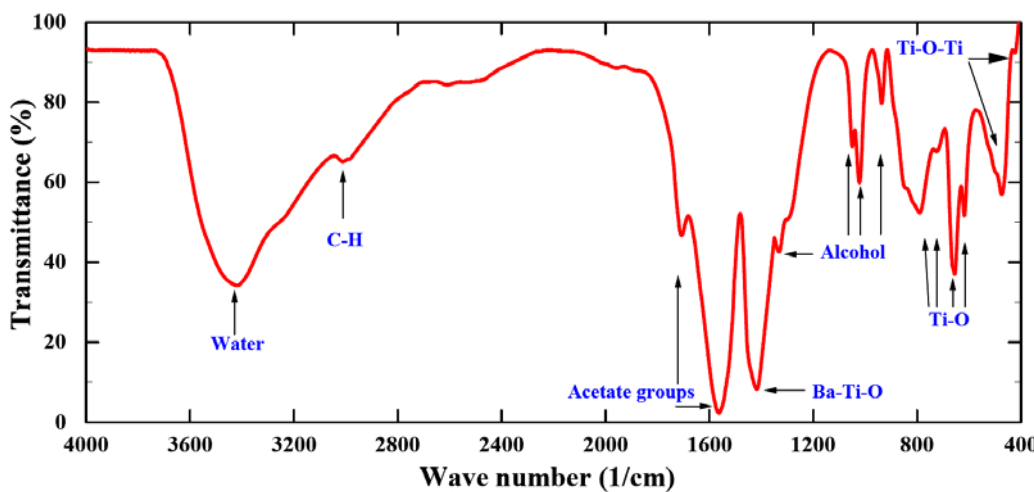
افزایش دما خود فازهای کربناتی هم تجزیه شده و تیتانات باریم بوجود می‌آید و این تجزیه تا دمای 730°C ادامه می‌یابد. شاهد این مدعایک پیک گرمگیر در حدود 675°C می‌باشد که مربوط به تجزیه کربنات‌ها و تشکیل تیتانات باریم می‌باشد. آخرین پیک گرمایی که مشاهده می‌شود در دمای 846°C است که مربوط به استحاله پلیمورفی تیتانات باریم از ساختار مکعبی به تتراتagonal است.

به خاطر ماهیت فرآیند سل-ژل و واکنش‌های آن، محصولات سل-ژل آمورف بوده و ساختار کربیستالی ندارند و به همین دلیل است که برای ارزیابی ژل خشک از آنالیز FT-IR استفاده شد. بر این اساس برای رسیدن به ساختار کربیستالی باید این محصولات را خشک و در ادامه کلسیناسیون نمود. شکل (۵) الگوهای پراش اشعه X پودرهای کلسینه شده به مدت یک ساعت در دمای 600°C ، 700°C ، 800°C و 900°C را نشان می‌دهد. همان طوری که در روی شکل نیز بوضوح مشخص شده است، الگوی پراش در دمای 600°C وجود تیتانات باریم به همراه کربنات باریم [۲۱] را نشان می‌دهد. الگوی پراش در دمای 700°C تجزیه بیشتر کربنات باریم و در نتیجه کاهش مقدار آن را نشان می‌دهد. در این دما الگوی پراش اشعه X وجود غالب تیتانات باریم با ساختار مکعبی با مقدار ناچیزی فاز ناخالصی (کربنات باریم) را نشان می‌دهد که تمام این آلدگی زمانی که نمونه در دمای 800°C حرارت داده شود تجزیه شده و پیک مرتبط با آن از الگوی پراش حذف می‌گردد و پراش نشان دهنده صدرصد پلیمورفی مکعبی تیتانات باریم با ساختار پروسکایت است [۲۲].

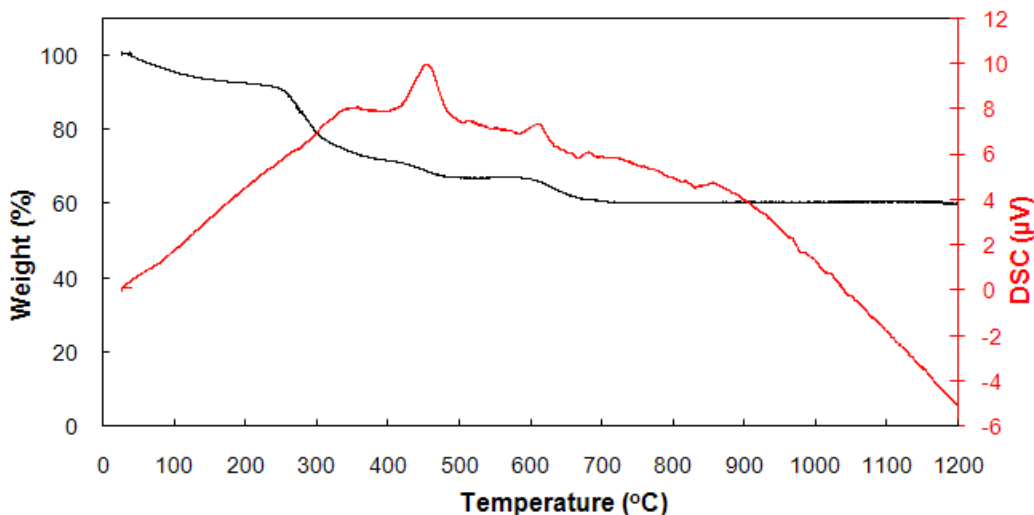
با افزایش دما از 800°C به 900°C شدت پیک‌ها افزایش یافته و پهنهای پیک در نصف ارتفاع آن (FWHM) کاهش می‌یابد که با توجه به رابطه شر $[23]$ می‌توان دریافت که اندازه کربیستالیت‌های حاصله با افزایش دما در حال افزایش است. اندازه متوسط کربیستالیت‌های تیتانات باریم از روی پیک مرتبط با صفحه کربیستالی (۱۱۰) در $2\theta=31/49$ با استفاده از رابطه شر محاسبه گردید و در نمودار شکل (۶) آورده شده است که از این نمودار دو دریافت مهم می‌توان داشت.

تیزتر بوده و در اینجا نیز مشابه آنالیز XRD عرض پیک در نصف ارتفاع 2θ آن مرتبط با مقدار پیوندهای موجود از آن نوع خاص در ساختار ماده مورد ارزیابی است. نتایج آنالیز FT-IR ژل خشک در شکل (۳) آورده شده است. همان طوری که در شکل ملاحظه می‌شود جذب در عدد موج برابر 3461 cm^{-1} مشخصه ارتعاش کششی پیوند O-H بوده که ناشی از وجود آب در ژل خشک می‌باشد [۳]. جذب در 3016 cm^{-1} به خاطر ارتعاش کششی پیوند C-H بوده که به خاطر گروه‌های عاملی - CH_2 و CH_3 - می‌باشد [۱۵]. دو جذب در عدد موج‌های 1702 cm^{-1} و 1567 cm^{-1} مشخصه پیوندهای مربوط به گروه‌های استاتی بوده که به یون‌های باریم چسبیده‌اند این پیک‌ها در واقع مربوط به ارتعاشات کششی متقارن و غیرمتقارن گروه‌های کربوکسیلاتی $(\text{COO}-)$ می‌باشد که از طریق استات باریم به ترکیب ژل خشک افروده شده‌اند [۱۶]. جذب در 1421 cm^{-1} مرتبط با پیوند O-Ba-Ti می‌باشد [۱۷]. جذب‌های در 1331 cm^{-1} ، 1049 cm^{-1} و 1022 cm^{-1} مربوط به ارتعاشات گروه‌های الکلی می‌باشد. در نهایت جذب‌های زیر 800 cm^{-1} به طور کلی به پیوند فلز-اکسیژن (M-O) برمی‌گردد [۱۸] که حاصل شده از پیوندهای Ti-O-Ti و Ti-O می‌باشد [۱۹-۲۰].

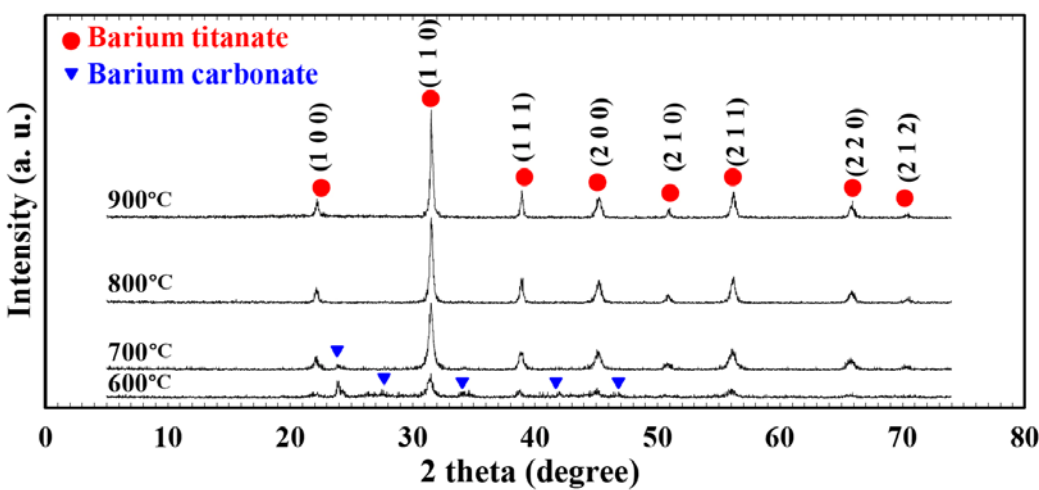
به منظور بررسی تغییرات واستحاله‌های وابسته به افزایش دما در ساختار ژل خشک، آنالیز حرارتی در محدوده دمائی 1200°C - 5°C انجام و در شکل (۴) آورده شده است. نتایج آنالیز کاهش وزن ناشی از حرارت (TGA)، نشان می‌دهد که نمونه آنالیز شده تا دمای 1200°C دارای ۴۰ درصد کاهش وزن بوده که شامل سه مرحله‌ی خروج آب موجود در ساختار ژل خشک و ترکیبات فرار، تخریب شبکه ژل و خروج ترکیبات آلی آزاد شده و تجزیه استات‌ها و اکسیدشدن و تشکیل فازهای کربناتی، تجزیه حرارتی ترکیبات آلی و کربنات‌ها و تشکیل تیتانات باریم می‌باشد. منحنی DSC دارای ۴ پیک می‌باشد که پیک در دمای 453°C مربوط به واکنش تخریب ساختار و شبکه ژل و آزاد شدن ترکیبات آلی فرار و تشکیل فازهای کربناتی آمورف می‌باشد. پیک در دمای 611°C وابسته به کربیستالی شدن ساختار می‌باشد. این کربیستاله شدن با فازهای کربناتی آغاز می‌شود و با



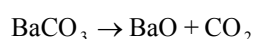
شکل (۳): طیف FT-IR ژل خشک شده در دمای ۱۰۰ درجه سانتی گراد.



شکل (۴): آنالیز تجزیه حرارتی (DTA/TGA) ژل خشک.



شکل (۵): الگوی پراش اشعه X پودرهای کلسینه شده در دمایهای ۶۰۰، ۷۰۰، ۸۰۰ و ۹۰۰ درجه سانتی گراد برای یک ساعت.

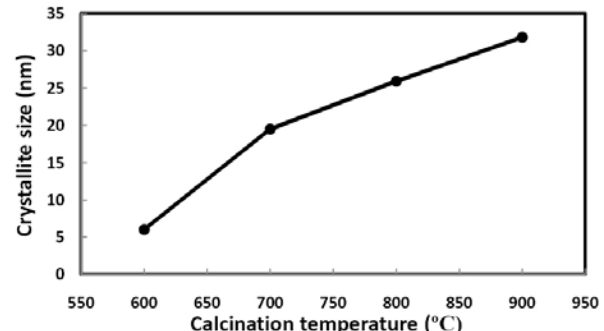


همان‌طوری که ملاحظه می‌شود در ابتدا کربنات باریم تجزیه شده و پس از واکنش با اکسیدتیتانیم، تشکیل تیتانات باریم می‌دهد. پس هرچه مقدار ترکیبات کربناتی بیشتر باشد، انتظار می‌رود تیتانات باریم در دماهای بالاتر و زمان‌های بیشتر در کلسیناسیون فرآوری شود.

الگوی پراش اشعه X، تشکیل تیتانات باریم خالص با ساختار مکعبی را در دمای 800°C پیش‌بینی نموده بود. شکل (۷) تصویر SEM پودرهای فرآوری شده در این شرایط را نشان می‌دهد. همان‌طوری که ملاحظه می‌شود پودرها به شدت آگلومره هستند که این امر به خاطر ماهیت فرآیند سل-ژل و انجام واکنش‌های مختلف حین خشک کردن ژل می‌باشد. البته برای جلوگیری از آگلومره شدن، می‌توان در حین فرآوری از افروندنی‌های نظری استیل استون یا اتیلن دی‌آمین استفاده کرد که متساقنه این ترکیبات اثر دوگانه داشته چرا که با معرفی آنها به محلول، یک سری ترکیبات کربناتی در حین کلسیناسیون ایجاد می‌شود و دمای فرآوری بالا می‌رود. اما از آنجاکه آگلومرها با پیوندهای ضعیف ثانویه تشکیل شده‌اند از طریق حمام آتراسونیک یا آسیاب کم انرژی می‌توان آنها را از هم باز یا دی‌آگلومره نمود. می‌توان گفت که ذرات کوچکی که در هر آگلومر مشاهده می‌شود در واقع همان ذرات تیتانات باریم می‌باشد.

شکل (۸) تصویر TEM پودر بدست آمده بعد از یک ساعت کلسیناسیون در دمای 800°C را نشان می‌دهد. این تصویر وجود برخی آگلومرها و ذرات نانومتری تیتانات باریم را نشان می‌دهد. اندازه کریستالیت‌های موجود در این تصویر در محدوده ۵۲-۶ نانومتر بوده که به طور تقریبی اندازه میانگین کریستالیت‌های آن در حدود ۲۹ نانومتر است. این نتیجه سازگاری خوبی با نتایج حاصله از رابطه شر دارد که در شکل (۶) آورده شده بود. الگوی پراش سطح انتخابی (SEAD) نیز وجود یک سری دایره‌های نه چندان واضح در مرکز را نشان می‌دهد که تایید کننده این مطلب‌اند که پودر حاصله نانومتری

یکی اینکه کریستالیت‌های موجود دارای ابعاد نانویی بوده و دیگر اینکه افزایش دما منجر به افزایش اندازه کریستالیت‌ها می‌شود.



شکل (۶): نمودار اندازه متوسط کریستالیت‌های پودر حاصله بر اساس دما، محاسبه شده از طریق رابطه شر.

مزیت قابل توجه روش اصلاح شده مورد استفاده در این تحقیق این است که در مقایسه با تحقیقات مشابه پیشین، نانوذرات ریزتر در دماهای پایین‌تر و زمان‌های کوتاه‌تر فرآوری شده‌اند. برای مثال یو [۱۰]، زینگ [۲۱]، لی [۱۴] و همکاران‌شان تیتانات باریم خالص با ساختار مکعبی را به ترتیب با کلسیناسیون در دمای 900°C در دو ساعت، 800°C در چهار ساعت و 800°C با دو ساعت فرآوری نموده‌اند اما در این تحقیق نانوذرات خالص و ریزتر در دمای 800°C به مدت یک ساعت فرآوری شدند.

در خصوص چرایی این رخداد چنین می‌توان بیان نمود که مقدار کمتر ۲ پروپانول و اسیداستیک منجر به تولید مقادیر کمتر ترکیبات کربناتی در حین کلسیناسیون می‌شود که این منجر به کاهش دما و زمان کلسیناسیون و فرآوری می‌شود. در مقایسه با تحقیقات دیگر [۱۲-۱۰] استفاده نکردن از استیل استون نیز در کاهش دما و زمان کلسیناسیون تاثیرگذار است. در خصوص ارتباط بین دما، زمان کلسیناسیون و پیوندهای کربناتی، می‌توان گفت که پیوندهای کربناتی باید شکسته شوند تا باریم، تیتانیم و اکسیژن بتواند با هم واکنش دهنده و ترکیب نهایی را بوجود آورند. از آنجایی که شکستن این پیوندها مستلزم صرف انرژی است، پس هرچه مقدار این ترکیبات بیشتر باشد، کلسیناسیون نیاز به انرژی بیشتری دارد که این انرژی بیشتر، از طریق افزایش دما و زمان کلسیناسیون تأمین می‌شود. تیتانات باریم براساس واکنش‌های زیر تشکیل می‌شود:

هزینه‌های فرآوری برای تولید اقتصادی، بسیار مناسب می‌باشد. علاوه بر این، ریزتر بودن این محصول، ساخت دستگاه‌های الکترونیکی میکرو و نانوساختار بر پایه‌ی تیتانات را ممکن می‌سازد.

است. این الگو همچنین وجود حلقه‌های هم مرکزی با شعاع بزرگتر را نشان می‌دهد که ناشی از پلی کریستاله بودن آگلومره‌ها می‌باشد. صفحات کریستالی متناظر آنها بر روی الگو مشخص شده است.

۴- نتیجه گیری

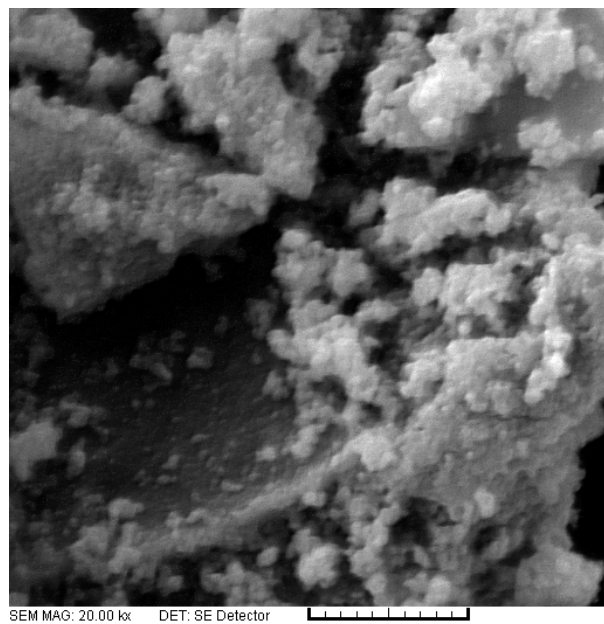
در این تحقیق پودر نانو ساختار تیتانات باریم با استفاده از یک روش سل-ژل اصلاح شده تهیه شد. از روش‌های مشخصه‌یابی SEM، XRD، FT-IR و TEM برای مطالعه و بررسی پودر حاصله استفاده گردید که نتایج آنها مؤید هم بود. در مقایسه نتایج حاصله در این تحقیق با نتایج تحقیق قبلی می‌توان دریافت که شرایط هیدرولیز، نوع انتخاب و نسبت مواد آغازگر اثر بسیار مهم و تعیین کننده‌ای بر شرایط فرآوری و هزینه‌های آن دارد. با کنترل و انتخاب بهینه‌ی این سه عامل موثر، نانوذرات تیتانات باریم ریزتر در دماهای پایین‌تر و زمان‌های کمتر نسبت به تحقیق‌های دیگر فرآوری شد.

۵- تشکر و قدردانی

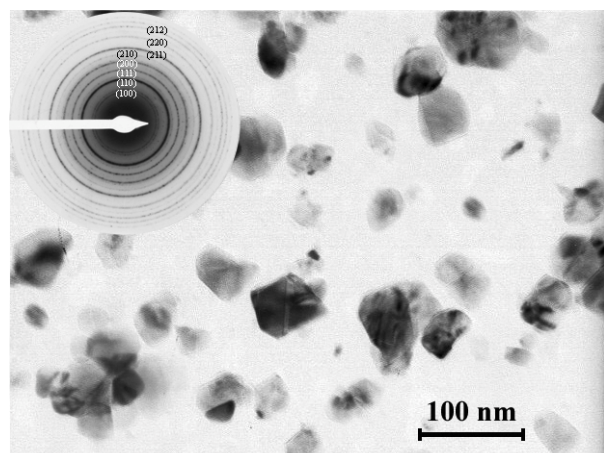
نویسنده اول بر خود لازم می‌داند از حمایت‌های دانشگاه آزاد اسلامی واحد دزفول تشکر و قدردانی نماید.

۶- مراجع

- [1] O. A. Harizanov, "Formation and crystallization of acac derived sol-gel BaTiO₃", Materials Letters, Vol. 34, 1998.
- [2] X. Xing, "Phase evolution of barium titanate from alkoxide gel-derived precursor", Journal of Alloys and Compounds, Vol. 384, 2004.
- [3] B. Cui, P. Yu, J. Tian, Zh. Chang, "Preparation and characterization of Co-doped BaTiO₃ nanosized powders and ceramics", Materials Science and Engineering B, Vol. 133, 2006.
- [4] W. Luan, L. Gao, "Influence of pH value on properties of nanocrystalline BaTiO₃ powder", Ceramics International, Vol. 27, 2001.
- [5] L. Simon-Seveyrat, A. Hajjaji, "Re-investigation of synthesis of BaTiO₃ by conventional solid-state reaction and oxalate coprecipitation route for piezoelectric applications", Ceramic International, Vol. 33, 2007.
- [6] Y. Kim, K. Ryu, "Structure and electron charge-density analysis of nano-sized BaTiO₃ powder prepared by solvothermal method", Current Applied Physics, Vol. 6S1, 2006.



شکل (۷): تصویر SEM پودر حاصله از کلیسیناسیون در دمای ۸۰۰ °C برای یک ساعت.



شکل (۸): تصویر TEM پودر حاصله از کلیسیناسیون در دمای ۸۰۰ برای یک ساعت و الگوی پراش SEAD آن.

در انتها بنظر می‌رسد که روش پیشنهاد شده در این تحقیق یک گزینه مطلوب و جذاب برای تولید صنعتی نانوذرات تیتانات باریم می‌باشد چراکه در این روش، نانوکریستال‌های بسیار خالص و ریزتر تیتانات باریم در دماهای پایین‌تر و زمان‌های کمتر در مقایسه با تحقیقات قبلی فرآوری می‌شوند. همچنین

- [15] M. Sasani Ghamsari, A.R. Bahramian, "High transparent sol-gel derived nanostructured TiO₂ thin film", Materials Letters, Vol. 62, 2008.
- [16] M. Burgos, M. Langlet, "The sol-gel transformation of TIPT coatings: a FTIR study", Thin Solid Films, Vol. 349, 1999.
- [17] S. Tangwiwat, S. J. Milne, "Barium titanate sols prepared by a diol-based sol-gel route", Journal of Non-Crystalline Solids, Vol. 351, 2005.
- [18] V. A. Vasiljev, K.A. Vorotilov, M.I. Yanovskaya, L.I. Solovjeva, A.S. Sigov, "Preparation of Transparent, Partially-Crystallized BaTiO₃ Monolithic Xerogels by Sol-Gel Processing", Journal of Sol-Gel Science Technology, Vol. 13, 1998.
- [19] O. Harizanov, A. Harizanova, T. Ivanova, "Formation and characterization of sol-gel barium titanate", Materials Science and Engineering B, Vol. 106, 2004.
- [20] A. Ianculescu, "Structure-properties correlations for barium titanate thin films obtained by rf-sputtering", Journal of the European Ceramic Society, Vol. 27, 2007.
- [21] JCPDS table no. 45-1471.
- [22] JCPDS table no. 5-0626.
- [23] B. D. Cullity, "The Elements of X-Ray Diffraction", second ed., Addison Wesley, California, 1978.
- [7] W. Lu, M. Quilitz, H. Schmidt, "Nanoscaled BaTiO₃ powders with a large surface area synthesized by precipitation from aqueous solutions: Preparation, characterization and sintering", Journal of the European Ceramic Society, Vol. 27, 2007.
- [8] F. Guangneng, H. Lixia, "Synthesis of single-crystal BaTiO₃ nanoparticles via a one-step sol-precipitation route", Journal of Crystal Growth, Vol. 279, 2005.
- [9] T. Yan, L. Xiao-Lin, "Synthesis of monodispersed barium titanate nanocrystals hydrothermal-recrystallization of BaTiO₃ nanospheres", Journal of Crystal Growth, Vol. 281, 2005.
- [10] P. Yu, "Preparation and characterization of BaTiO₃ powders and ceramics by sol-gel process using oleic acid as surfactant", Materials Science and Engineering A, Vol. 473, 2007.
- [11] D. R. Uhlmann, G. Teowee, "The Future of Sol-Gel Science and Technology", Journal of Sol-Gel Science Technology, Vol. 8, 1997.
- [12] R. Ashiri, A. Nemati, M. Sasani Ghamsari, "Characterization of optical properties of amorphous BaTiO₃ nanothin films", Journal of Non-Crystalline Solids, Vol. 355, 2009.
- [13] O. A. Harizanov, "Sol-gel BaTiO₃ from a peptized solution", Materials Letters, Vol. 34, 1998.
- [14] B. Lee, J. Zhang, "Preparation, structure evolution and dielectric properties of BaTiO₃ thin films and powders by an aqueous sol-gel process", Thin Solid Films, Vol. 388, 2001.

۷- پی نوشت

- 1- Multi Layer Ceramic Capacitors (MLCCs)
- 2- Integrated Circuits (ICs)
- 3- Infrared detectors
- 4- Piezoelectric transducers
- 5- Electro-optic devices
- 6- Ferroelectric memories
- 7- Miniaturization
- 8- Downsizing
- 9- Conventional and advanced methods
- 10- Submicron
- 11- Multiple phases
- 12- Precursors
- 13- A modified acetate sol-gel route
- 14- Glacial
- 15- Tetra Iso Propyl Alkoxide
- 16- Deionized
- 17- Two-step hydrolysis
- 18- Magnetic stirrer
- 19- Xerogel
- 20- Functional groups
- 21- Hitachi spectrophotometer
- 22- Philips
- 23- Modifier
- 24- Organometallic
- 25- Characteristic Wavenumber
- 26- Full Wide at Half-Maximum (FWHM)
- 27- Symmetric & Asymmetric [(COO-)] stretching vibrations
- xxviii- Selected Area Electron Diffraction (SAED)